

05. 6221. 11. 2020. MB

axians

SP/463/6/2020/JN

Gdynia, 16.06.2020r.

WB
20.06.2020
CLP

os

er

W P Ł Y N Ę Ł O
STAROSTWO POWIATOWE W CHOSZCZynie
ul. Nadbrzeźna 2, 73-200 Choszczno
KANCELARIA OGOLNA

22.06.2020

PROWADZĄCY INSTALACJE: Polkomtel Infrastruktura Sp. z o.o., ul. Konstruktorska 4, 02-673 Warszawa

Skierowano

L.dz. **DOTYCZY:** 73957226

Stacji bazowej telefonii komórkowej **BT43680 PELCZYCE**
Zlokalizowanej pod adresem: dz. nr 346, obręb 0009 Pełczyce, gmina Pełczyce,
powiat choszczeński, woj. zachodniopomorskie

Działając w imieniu inwestora w trybie art. 152 ust. 6 pkt. 1 ustawy z dnia 27 kwietnia 2001r. Prawo Ochrony Środowiska (tekst jedn.: Dz.U. z 2019r. poz. 1396 z późniejszymi zmianami) informuję o zmianie danych zawartych w zgłoszeniu instalacji stacji bazowej telefonii komórkowej BT43680 PELCZYCE zlokalizowanej pod adresem dz. nr 346, obręb 0009 Pełczyce, gmina Pełczyce, powiat choszczeński, woj. zachodniopomorskie.

Z poważaniem

Joanna Norek

Joanna Norek

Adres korespondencyjny:

Joanna Norek
Axians Networks Poland Sp. z o.o.
Ul. Rdestowa 51; 81-577 Gdynia
Tel. 662 124 580
joanna.norek@axians.com

W załączeniu:

- 1) Upoważnienie inwestora
- 2) Sprawozdanie z pomiarów pól elektromagnetycznych dla celów ochrony ludności i środowiska
- 3) Formularz zgłoszenia instalacji

25/2011

FORMULARZ ZMIANY DANYCH W ZGŁOSZENIU INSTALACJI WYTWARZAJĄCYCH POLA ELEKTROMAGNETYCZNE

I. Wypełnia podmiot prowadzący instalację dokonujący jej zgłoszenia

1. Nazwa i adres organu ochrony środowiska właściwego do przyjęcia zgłoszenia
**Starostwo Powiatowe w Choszcznie
Wydział Ochrony Środowiska, Rolnictwa i Leśnictwa
ul. Nadbrzeżna 2
73-200 Choszczno**
2. Nazwa instalacji zgodna z nazewnictwem stosowanym przez prowadzącego instalację
stacja bazowa BT43680 PELCZYCE (ext. 20)
3. Określenie nazw jednostek terytorialnych (gmin, powiatów i województw), na których terenie znajduje się instalacja, wraz z podaniem symboli KTS¹⁾ jednostek terytorialnych, na których terenie znajduje się instalacja
**KTS1 1002000000000 PÓŁNOCNO-ZACHODNI
KTS2 1002320000000 Zachodniopomorskie
KTS3 1002321000000 Zachodniopomorskie
KTS4 1002321640000 Szczecińsko-pyrzycki
KTS5 10023216402000 choszczeński
KTS6 10023216402055 Pełczyce**
4. Oznaczenie prowadzącego instalację, jego adres zamieszkania lub siedziby
Prowadzący instalację: Polkomtel Infrastruktura Sp. z o.o., ul. Konstruktorska 4, 02-673 Warszawa;
5. Adres zakładu, na którego terenie prowadzona jest eksploatacja instalacji
dz. nr 346, obręb 0009 Pełczyce gmina Pełczyce; powiat choszczeński; województwo zachodniopomorskie
6. Rodzaj instalacji, zgodnie z załącznikiem nr 2 do rozporządzenia Ministra Środowiska z dnia 2 lipca 2010 r. w sprawie zgłoszenia instalacji wytwarzających pola elektromagnetyczne (Dz. U. Nr 130, poz. 880)
instalacje radiokomunikacyjne, których równoważna moc promieniowania izotropowo wynosi nie mniej niż 15W, emitujące pola elektromagnetyczne o częstotliwościach od 30 kHz do 300 GHz
7. Rodzaj i zakres prowadzonej działalności, w tym wielkość produkcji lub wielkość świadczonych usług
działalność w zakresie telekomunikacji przewodowej i bezprzewodowej.
8. Czas funkcjonowania instalacji (dni tygodnia i godziny)
7 dni w tygodniu, 24 godziny na dobę
9. Wielkość i rodzaj emisji²⁾
**sumaryczna moc EIRP anten sektorowych 124550 W
sumaryczna moc EIRP anten radioliniowych 27042 W**
10. Opis stosowanych metod ograniczania emisji
Parametry stacji bazowej zostały tak dobrane, aby ponadnormatywny poziom pola elektromagnetycznego nie występował w miejscach dostępnych dla ludności.
11. Informacja, czy stopień ograniczania wielkości emisji jest zgodny z obowiązującymi przepisami
W miejscach dostępnych dla ludności poziom pola elektromagnetycznego nie przekracza wartości ponadnormatywnych.
12. Szczegółowe dane, odpowiednio do rodzaju instalacji, zgodne z wymaganiami określonymi w załączniku nr 2 do rozporządzenia:

1) współrzędne geograficzne anten	2) częstotliwość pracy	3) wysokości środków elektrycznych anten nad poziomem terenu	4) EIRP - równoważna moc promieniowana izotropowo	5) zakresy azymutów i kątów pochylenia osi głównych wiązek promieniowania
53-02-08.38N 15-18-51.01E	2600 Mhz	48,35 m	5772 W	Azymut 350° Pochylenie 2°-°
53-02-08.38N 15-18-51.01E	2600 Mhz	48,35 m	5772 W	Azymut 170° Pochylenie 2°-°
53-02-08.38N 15-18-51.01E	900 Mhz	69,40 m	12264 W	Azymut 290° Pochylenie 0°-°
53-02-08.38N 15-18-51.01E	1800 Mhz	48,35 m	5228 W	Azymut 120° Pochylenie 2°-11°
53-02-08.38N 15-18-51.01E	1800 Mhz	48,35 m	3475 W	Azymut 210° Pochylenie 0°-11°
53-02-08.38N 15-18-51.01E	1800 Mhz	48,35 m	6470 W	Azymut 300° Pochylenie 0°-11°
53-02-08.38N 15-18-51.01E	900 Mhz	69,40 m	6585 W	Azymut 50° Pochylenie 0°-10°
53-02-08.38N 15-18-51.01E	900 Mhz	58,20 m	12264 W	Azymut 115° Pochylenie 0°-10°
53-02-08.38N 15-18-51.01E	900 Mhz	69,40 m	12264 W	Azymut 170° Pochylenie 0°-10°

53-02-08.38N 15-18-51.01E	900 Mhz	58,20 m	12264 W	Azymut 235° Pochylenie 0°-10°
53-02-08.38N 15-18-51.01E	900 Mhz	69,40 m	12264 W	Azymut 345° Pochylenie 0°-10°
53-02-08.38N 15-18-51.01E	1800 Mhz 2600 Mhz	66,70 m	5537 W 7075 W	Azymut 50° Pochylenie 0°-6°
53-02-08.38N 15-18-51.01E	2600 Mhz	48,35 m	5772 W	Azymut 110° Pochylenie 2°-12°
53-02-08.38N 15-18-51.01E	2600 Mhz	48,35 m	5772 W	Azymut 235° Pochylenie 2°-12°
53-02-08.38N 15-18-51.01E	2600 Mhz	48,35 m	5772 W	Azymut 290° Pochylenie 2°-12°
53-02-08.38N 15-18-51.01E	18 GHz D2	52,00 m	1230,27 W	Azymut 65°
53-02-08.38N 15-18-51.01E	13 GHz	63,30 m	3981,07 W	Azymut 84°
53-02-08.38N 15-18-51.01E	13 GHz	69,30 m	1000,00 W	Azymut 88°
53-02-08.38N 15-18-51.01E	23 GHz	55,00 m	1412,54 W	Azymut 115°
53-02-08.38N 15-18-51.01E	13 GHz	52,20 m	1513,56 W	Azymut 206°
53-02-08.38N 15-18-51.01E	23 GHz	53,00 m	457,09 W	Azymut 243°
	80 GHz		5370,32 W	Azymut 243°
53-02-08.38N 15-18-51.01E	23 GHz	53,00 m	933,25 W	Azymut 243°
53-02-08.38N 15-18-51.01E	13 GHz	52,20 m	1584,89 W	Azymut 333°
53-02-08.38N 15-18-51.01E	23 GHz	58,20 m	1479,11 W	Azymut 348°
53-02-08.38N 15-18-51.01E	80 GHz	58,00 m	7079,46 W	Azymut 348°
53-02-08.38N 15-18-51.01E	13 GHz	34,10 m	1000,00 W	Azymut 356°

6) Na podstawie wykonanej analizy stwierdza się, że w odległościach od anten sektorowych, określonych zgodnie z Rozporządzeniem Rady Ministrów z dnia 10 września 2019 r. w sprawie przedsięwzięć mogących znacząco oddziaływać na środowisko (Dz.U z 2019 r. poz. 1839), wzdłuż osi głównych wiązek promieniowania tych anten, nie występują miejsca dostępne dla ludności

7) Sprawozdanie z pomiarów poziomów pól elektromagnetycznych – załącznik nr 2

13. Miejscowość, data (rok - miesiąc - dzień):

Imię i nazwisko osoby reprezentującej prowadzącego instalację

Joanna Nache

Podpis

Gdynia, 16.06.2020

II. Wypełnia organ ochrony środowiska przyjmujący zgłoszenie

Data zarejestrowania zgłoszenia

Numer zgłoszenia

.....

.....

Objaśnienia:

- System Kodowania Jednostek Terytorialnych i Statystycznych (KTS) wprowadzony Zarządzeniem wewnętrznym nr 22 Prezesa Głównego Urzędu Statystycznego z dnia 24 sierpnia 2017 r. w sprawie wprowadzenia Systemu Kodowania Jednostek Terytorialnych i Statystycznych
- W przypadku stacji elektroenergetycznych i napowietrznych linii elektroenergetycznych - napięcie znamionowe, a w przypadku pozostałych instalacji - równoważne moce promieniowane izotropowo (EIRP) poszczególnych anten.
- Liczba porządkowa zgodna z numeracją punktów w odpowiednich do rodzaju instalacji ustępach załącznika nr 2 do rozporządzenia.



Laboratorium EMVO Sp. J. Urbański, Pawelak
ul. Jasna 1
00-013 Warszawa

tel. +48 22 780 29 64
e-mail: laboratorium@emvo.pl



AB 1630

Sprawozdanie z pomiarów pól elektromagnetycznych - środowisko ogólne nr 10/06/OŚ/2020-ELT



Nr i nazwa stacji	BT43680 PELCZYCE	
Adres	Pełczyce, dz. nr 346, gm. Pełczyce, pow. choszczeński, woj. zachodnio-pomorskie	
Opracowanie	Martyna Karczmarczyk	Specjalista ds. pomiarów
Autoryzacja	Andrzej Urbański	Kierownik Laboratorium
Podpis	Podpis jest prawidłowy Dokument podpisany przez Andrzej Urbański Data: 2020.06.05 08:23:18 CEST Powód: Zatwierdzam dokument	
Data	2020-06-02	

Spis treści

1. Informacje ogólne.....	3
2. Podstawa prawna.....	3
3. Opis pomiarów.....	3
4. Charakterystyka źródeł PEM.....	4
5. Wyniki pomiarów.....	6
6. Stwierdzenie zgodności.....	5
7. Oświadczenie.....	5
8. Spis załączników.....	9

Plac realizacji	Wielka Królowa
Adres realizatora	Konwars
Imię i nazwisko realizatora	Piotr Kupczakowski
Data pomiaru	02.06.2020
Temperatura powietrza	20,0
Temperatura powierzchni	20,0
Współczynnik wilgotności	Max 60%
Współczynnik osłony	6,2
Współczynnik osłony mierz	56,0
Współczynnik osłony mierz	Wysypis
Współczynnik osłony mierz	Rzeczywisty

2. Podstawa prawna.

2.1 Normy i rozporządzenia:

- Rozporządzenie Ministra Klimatu z dnia 17 lutego 2020 r. w sprawie sposobów sprawozdania dotychczasowych poziomów pól elektromagnetycznych w środowisku (Dz.U. 2020 poz. 253)
- Rozporządzenie Ministra Zdrowia z dnia 17 grudnia 2019 r. w sprawie dopuszczalnych poziomów pól elektromagnetycznych w środowisku (Dz.U. 2019 poz. 2444)
- Uchwała Sejmiku Marszałka Sejmu Rzeczypospolitej Polskiej z dnia 19 lipca 2019 r. w sprawie ogłoszenia jednolitego tekstu ustawy - Prawo ochrony środowiska (Dz.U. 2019 poz. 1396).

3. Opis pomiarów

Metodologia pomiarowa	Pomiary w oparciu o Rozporządzeniem Ministra Klimatu z dnia 17 lutego 2020 r. w sprawie sposobów sprawozdania dotychczasowych poziomów pól elektromagnetycznych w środowisku (Dz.U. 2020 poz. 253). Dokument PCA 048-18 „Program strażnicy laboratoryjnej badawczych wykonujących pomiary pol elektromagnetycznych w środowisku” wyd. 1.
-----------------------	--

1. Informacje ogólne.

Zleceniodawca	Axians Networks Poland Sp. z o.o. ul. Żupnicza 17 – 03-821 Warszawa Osoba udzielająca informacji – Piotr Miliszkievicz
Istotne informacje dostarczone przez zleceniodawcę	komplet informacji niezbędnych do wykonania pomiarów i opracowania sprawozdania
Prowadzący instalację	Polkomtel Infrastruktura sp. z o.o. , ul. Konstruktorska 4, 02-673 Warszawa
Lokalizacja obiektu	Pełczyce, dz. nr 346, gm. Pełczyce, pow. choszczeński, woj. zachodnio-pomorskie
Miejsce instalacji anten	Wieża kratowa
Miejsce instalacji urządzeń	Kontener
Osoby wykonujące pomiar	Piotr Kujaszewski
Data wykonania pomiaru	02.06.2020
Temperatura na początku pomiaru [°C]	18,0
Temperatura na koniec pomiaru [°C]	20,0
Warunki atmosferyczne	Brak opadów
Wilgotność na początku pomiaru [%]	62,0
Wilgotność na koniec pomiaru [%]	56,0
Inne źródła pól elektromagnetycznych	Występują
Parametry pracy instalacji	Rzeczywisty

2. Podstawa prawna.

2.1 Normy i rozporządzenia:

- Rozporządzeniem Ministra Klimatu z dnia 17 lutego 2020 r. w sprawie sposobów sprawdzania dotrzymania dopuszczalnych poziomów pól elektromagnetycznych w środowisku (Dz.U. 2020 poz. 258)
- Rozporządzenie Ministra Zdrowia z dnia 17 grudnia 2019 r. w sprawie dopuszczalnych poziomów pól elektromagnetycznych w środowisku (Dz.U. 2019 poz. 2448)
- Obwieszczenie Marszałka Sejmu Rzeczypospolitej Polskiej z dnia 19 lipca 2019 r. w sprawie ogłoszenia jednolitego tekstu ustawy - Prawo ochrony środowiska (Dz.U. 2019 poz. 1396).

3. Opis pomiarów

Metodologia pomiarowa Pomiary w oparciu o Rozporządzeniem Ministra Klimatu z dnia 17 lutego 2020 r. w sprawie sposobów sprawdzania dotrzymania dopuszczalnych poziomów pól elektromagnetycznych w środowisku (Dz.U. 2020 poz. 258), Dokument PCA DAB-18 „Program akredytacji laboratoriów badawczych wykonujących pomiary pola elektromagnetycznego w środowisku” wyd. 1,

Cel badań	Określenie wartości natężenia pola elektrycznego w miejscach dostępnych dla ludności.
Opis zestawu pomiarowego	Miernik Narda NBM 520, Sonda EF 9091, o zakresie pomiarowym 0,7 V/m - 400V/m pracująca w paśmie 0,1 – 90 GHz, świadectwo wydane przez Laboratorium Wzorców i Metrologii Pola Elektromagnetycznego, Instytut Telekomunikacji, Teleinformatyki i Akustyki Politechniki Wrocławskiej. Świadectwo ważne do 15.07.2021r. Miernik Narda NBM 520, Sonda EF 9091 pracująca w zakresie temperatury -10°C - +50°C oraz wilgotności 5% - 95%.
Wypożyczenie pomocnicze	Niepewność rozszerzona 58,4% przy poziomie ufności 95% z uwzględnieniem współczynnika rozszerzenia k=2. Termohigrometr Termoprodukt, typ: Termik+, nr identyfikacyjny 700618, świadectwo wzorcowania nr 1763/AH/19 z dn. 29.07.2019 r. wydane przez Laboratorium Pomiarowe "MUTECH". Przymiar wstępowy STABILA, nr identyfikacyjny 31WL, świadectwo wzorcowania nr 6W1/1826/19 z dn. 02.08.2019 r. wydane przez Dyrektora Okręgowego Urzędu Miar w Gdańsku. GPS Garmin 64s okresowo sprawdzany w punktach osnowy geodezyjnej klasy 3 na podstawie licencji punktu, zgodnie z procedurą sprawdzeń okresowych IS/PO16-11/03.
Szczególne warunki podczas wykonywania pomiarów	Pomiary wykonane zostały podczas obowiązywania w kraju stanu epidemii, zgodnie z art. 122a ust. 1b Ustawy z dnia 27 kwietnia 2001 r. – Prawo ochrony środowiska (Dz. U. z 2019 r. poz. 1396, z późn. zm.9))

4. Zróżnicowanie dopuszczalne poziomy pól elektromagnetycznych.

Zakresy znajdują się w Dzienniku Ustaw z dnia 17 grudnia 2019 r. przedstawione są w tabeli nr 2 (Dz. U. z 2019r. poz. 2448).

Parametr fizyczny	Składowa elektryczna E (V/m)	Składowa magnetyczna H (A/m)	Gęstość mocy S (W/m ²)
Zakres Częstotliwości pola elektromagnetycznego			
od 400 MHz do 2000 MHz	$1,375 \times f^{0,5}$	$0,0037 \times f^{0,5}$	f / 200
od 2 GHz do 300 GHz	61	0,16	10

5. Charakterystyka źródeł PEM.

Zgodnie z informacją otrzymaną od Zleceniodawcy pomiary zostały wykonane przy ustawieniach pochyleń anten zgodnych z pkt. 13, ppkt 2 załącznika do rozporządzenia Ministra Klimatu z dnia 17 lutego 2020 roku.

Tabela 1. Anteny sektorowe

Typ anteny	Współrzędne geograficzne	Azymut mechaniczny [°]	Azymut elektryczny [°]	Wysokość środka elektrycznego anten n.p.t. [m]	Pasma częstotliwości	Zakres pochyleń elektrycznego [°]	Średnie pochylenie anten (ustawione do pomiarów PEM) [°]	Kąt pochyleń mechanicznego [°]	Moc EIRP [W]	Suma EIRP [W]
A264521R2V06	53°02'10.06"N 15°18'48.95"E	350	350	48,35	2600	2-12	7,0	0	5772	5772
A264521R2V06	53°02'10.06"N 15°18'48.95"E	170	170	48,35	2600	2-12	5,0	0	5772	5772
A704521ROV06	53°02'10.06"N 15°18'48.95"E	290	290	69,4	900	0-8	4,0	0	12264	12264
A264521R2V06	53°02'10.06"N 15°18'48.95"E	120	120	48,35	1800	2-6	4,0	0	5228	5228
741990V01	53°02'10.06"N 15°18'48.95"E	210	210	48,35	1800	0-6	3,0	0	3475	3475
80010378	53°02'10.06"N 15°18'48.95"E	300	300	48,35	1800	0-6	3,0	0	6470	6470
A794517ROV06	53°02'10.06"N 15°18'48.95"E	50	50	69,4	900	0-10	3,0	0	6585	6585
A704521ROV06	53°02'10.06"N 15°18'48.95"E	115	115	58,2	900	0-10	5,0	0	12264	12264
A704521ROV06	53°02'10.06"N 15°18'48.95"E	170	170	69,4	900	0-10	5,0	0	12264	12264
A704521ROV06	53°02'10.06"N 15°18'48.95"E	235	235	58,2	900	0-10	5,0	0	12264	12264
A704521ROV06	53°02'10.06"N 15°18'48.95"E	345	345	69,4	900	0-10	5,0	0	12264	12264
ADU4521ROV06	53°02'10.06"N 15°18'48.95"E	50	50	66,7	1800	0-6	3,0	0	5537	12612
					2600	0-6	3,0	0	7075	
A264521R2V06	53°02'10.06"N 15°18'48.95"E	110	110	48,35	2600	2-12	7,0	0	5772	5772
A264521R2V06	53°02'10.06"N 15°18'48.95"E	235	235	48,35	2600	2-12	5,0	0	5772	5772
A264521R2V06	53°02'10.06"N 15°18'48.95"E	290	290	48,35	2600	2-12	4,0	0	5772	5772

Tabela 2. Anteny radioliniowe

Typ anteny	Współrzędne geograficzne	Azymut [°]	Średnica [m]	Pasma częstotliwości [GHz]	Zysk energetyczny [dBi]	Moc wyjściowa nadajnika [dBm]	EIRP [W]	Wysokość środka elektrycznego anten n.p.t. [m]
UKY 220 44/SC15	53°02'10.06"N 15°18'48.95"E	65	0,6	18	38,9	22,0	1230,27	52,0
UKY 210 41/DC15	53°02'10.06"N 15°18'48.95"E	84	1,2	13	42,0	24,0	3981,07	63,3
UKY 220 42/SC15	53°02'10.06"N 15°18'48.95"E	88	0,6	13	36,0	24,0	1000,00	69,3
UKY 220 45/SC15	53°02'10.06"N 15°18'48.95"E	115	0,6	23	40,5	21,0	1412,54	55,0
UKY 210 41/SC15D	53°02'10.06"N 15°18'48.95"E	206	1,2	13	41,8	20,0	1513,56	52,2
ANT2/2B0.623/80HP/HP	53°02'10.06"N 15°18'48.95"E	243	0,6	23	39,6	17,0	457,09	53,0
		243	0,6	80	49,3	18,0	5011,87	53,0
VHLPX2-23	53°02'10.06"N 15°18'48.95"E	243	0,6	23	40,2	19,5	933,25	53,0
UKY 210 41/DC15	53°02'10.06"N 15°18'48.95"E	333	1,2	13	42,0	20,0	1584,89	52,2
UKY 210 44/SC15	53°02'10.06"N 15°18'48.95"E	348	1,2	23	46,7	15,0	1479,11	58,2
UKY 230 42/14H	53°02'10.06"N 15°18'48.95"E	348	0,6	80	50,5	18,0	7079,46	58,0
UKY 220 42/SC15	53°02'10.06"N 15°18'48.95"E	355	0,6	13	36,0	24,0	794,33	34,1

„Bez pisemnej zgody Laboratorium niniejsze sprawozdanie nie może być powielane inaczej, jak tylko w całości. Ponadto wyniki dotyczą tylko badanych obiektów przywołanych w niniejszym sprawozdaniu z badań”

6. Wyniki pomiarów.

Wyniki pomiarów pól elektromagnetycznych dla celów ochrony środowiska przedstawia poniższa tabela. Piony pomiarowe zostały przedstawione w zał. 2.

Nr PP	Pole-E [V/m]	Pole-E *kE,+U [V/m]	Pole-H [A/m]	Pole-H *kE+U [A/m]	Wys. pomiaru [m]	Opis pionu	Uwagi	WM _E	WM _H
1	<0,7*	-	<0,002	-	0,3-2,0	N:53°02'10.25" E:15°18'54.53"	otoczenie stacji bazowej - 100m wzdłuż gł. osi promieniowania - GKP	-	-
2	<0,7*	-	<0,002	-	0,3-2,0	N:53°02'12.75" E:15°18'59.36"	otoczenie stacji bazowej - 200m wzdłuż gł. osi promieniowania - GKP	-	-
3	<0,7*	-	<0,002	-	0,3-2,0	N:53°02'14.78" E:15°19'04.02"	otoczenie stacji bazowej - 300m wzdłuż gł. osi promieniowania - GKP	-	-
4	<0,7*	-	<0,002	-	0,3-2,0	N:53°02'16.88" E:15°18'06.83"	otoczenie stacji bazowej - 400m wzdłuż gł. osi promieniowania - GKP	-	-
5	<0,7*	-	<0,002	-	0,3-2,0	N:53°02'19.36" E:15°19'10.74"	otoczenie stacji bazowej - 500m wzdłuż gł. osi promieniowania - GKP	-	-
6	<0,7*	-	<0,002	-	0,3-2,0	N:53°02'21.34" E:15°19'13.77"	otoczenie stacji bazowej - 600m wzdłuż gł. osi promieniowania - GKP	-	-
7	<0,7*	-	<0,002	-	0,3-2,0	N:53°02'23.36" E:15°19'18.00"	otoczenie stacji bazowej - 695m wzdłuż gł. osi promieniowania - GKP	-	-
8	<0,7*	-	<0,002	-	0,3-2,0	N:53°02'07.09" E:15°18'57.71"	otoczenie stacji bazowej - 100m wzdłuż gł. osi promieniowania - GKP	-	-
9	<0,7*	-	<0,002	-	0,3-2,0	N:53°02'06.05" E:15°19'02.78"	otoczenie stacji bazowej - 200m wzdłuż gł. osi promieniowania - GKP	-	-
10	<0,7*	-	<0,002	-	0,3-2,0	N:53°02'04.95" E:15°19'08.84"	otoczenie stacji bazowej - 300m wzdłuż gł. osi promieniowania - GKP	-	-
11	<0,7*	-	<0,002	-	0,3-2,0	N:53°02'04.63" E:15°18'12.42"	otoczenie stacji bazowej - 400m wzdłuż gł. osi promieniowania - GKP	-	-
12	<0,7*	-	<0,002	-	0,3-2,0	N:53°02'04.12" E:15°19'18.08"	otoczenie stacji bazowej - 500m wzdłuż gł. osi promieniowania - GKP	-	-
13	<0,7*	-	<0,002	-	0,3-2,0	N:53°02'02.99" E:15°19'23.15"	otoczenie stacji bazowej - 600m wzdłuż gł. osi promieniowania - GKP	-	-
14	<0,7*	-	<0,002	-	0,3-2,0	N:53°02'02.39" E:15°18'27.18"	otoczenie stacji bazowej - 695m wzdłuż gł. osi promieniowania - GKP	-	-
15	<0,7*	-	<0,002	-	0,3-2,0	N:53°02'03.67" E:15°19'10.51"	otoczenie stacji bazowej - 400m wzdłuż gł. osi promieniowania - GKP	-	-
16	<0,7*	-	<0,002	-	0,3-2,0	N:53°02'02.34" E:15°19'17.24"	otoczenie stacji bazowej - 500m wzdłuż gł. osi promieniowania - GKP	-	-
17	<0,7*	-	<0,002	-	0,3-2,0	N:53°02'01.32" E:15°19'21.73"	otoczenie stacji bazowej - 600m wzdłuż gł. osi promieniowania - GKP	-	-
18	<0,7*	-	<0,002	-	0,3-2,0	N:53°01'59.84" E:15°19'26.48"	otoczenie stacji bazowej - 695m wzdłuż gł. osi promieniowania - GKP	-	-
19	<0,7*	-	<0,002	-	0,3-2,0	N:53°02'05.27" E:15°19'01.21"	otoczenie stacji bazowej - 200m wzdłuż gł. osi promieniowania - GKP	-	-
20	<0,7*	-	<0,002	-	0,3-2,0	N:53°02'03.70" E:15°19'05.75"	otoczenie stacji bazowej - 300m wzdłuż gł. osi promieniowania - GKP	-	-
21	<0,7*	-	<0,002	-	0,3-2,0	N:53°02'02.44" E:15°19'10.63"	otoczenie stacji bazowej - 400m wzdłuż gł. osi promieniowania - GKP	-	-
22	<0,7*	-	<0,002	-	0,3-2,0	N:53°02'01.12" E:15°19'15.21"	otoczenie stacji bazowej - 500m wzdłuż gł. osi promieniowania - GKP	-	-
23	<0,7*	-	<0,002	-	0,3-2,0	N:53°01'59.74" E:15°19'20.51"	otoczenie stacji bazowej - 600m wzdłuż gł. osi promieniowania - GKP	-	-
24	<0,7*	-	<0,002	-	0,3-2,0	N:53°01'58.72" E:15°19'23.66"	otoczenie stacji bazowej - 695m wzdłuż gł. osi promieniowania - GKP	-	-
25	<0,7*	-	<0,002	-	0,3-2,0	N:53°02'04.46" E:15°18'52.96"	otoczenie stacji bazowej - 100m wzdłuż gł. osi promieniowania - GKP	-	-
26	<0,7*	-	<0,002	-	0,3-2,0	N:53°02'01.61" E:15°18'53.70"	otoczenie stacji bazowej - 200m wzdłuż gł. osi promieniowania - GKP	-	-
27	<0,7*	-	<0,002	-	0,3-2,0	N:53°01'57.60" E:15°18'55.61"	otoczenie stacji bazowej - 300m wzdłuż gł. osi promieniowania - GKP	-	-
28	<0,7*	-	<0,002	-	0,3-2,0	N:53°01'54.65" E:15°18'56.07"	otoczenie stacji bazowej - 400m wzdłuż gł. osi promieniowania - GKP	-	-

„Bez pisemnej zgody Laboratorium niniejsze sprawozdanie nie może być powielane inaczej, jak tylko w całości. Ponadto wyniki dotyczą tylko badanych obiektów przywołanych w niniejszym sprawozdaniu z badań”
10/06/OŚ/2020-ELT

29	<0,7*	-	<0,002	-	0,3-2,0	N:53°01'51.88" E:15°18'57.87"	otoczenie stacji bazowej - 500m wzdłuż gł. osi promieniowania - GKP	-	-
30	<0,7*	-	<0,002	-	0,3-2,0	N:53°01'48.78" E:15°18'58.63"	otoczenie stacji bazowej - 600m wzdłuż gł. osi promieniowania - GKP	-	-
31	<0,7*	-	<0,002	-	0,3-2,0	N:53°01'45.87" E:15°19'00.23"	otoczenie stacji bazowej - 695m wzdłuż gł. osi promieniowania - GKP	-	-
32	<0,7*	-	<0,002	-	0,3-2,0	N:53°02'04.88" E:15°18'48.80"	otoczenie stacji bazowej - 100m wzdłuż gł. osi promieniowania - GKP	-	-
33	<0,7*	-	<0,002	-	0,3-2,0	N:53°02'02.71" E:15°18'48.43"	otoczenie stacji bazowej - 200m wzdłuż gł. osi promieniowania - GKP	-	-
34	<0,7*	-	<0,002	-	0,3-2,0	N:53°01'59.89" E:15°18'44.04"	otoczenie stacji bazowej - 300m wzdłuż gł. osi promieniowania - GKP	-	-
35	<0,7*	-	<0,002	-	0,3-2,0	N:53°01'56.36" E:15°18'40.64"	otoczenie stacji bazowej - 400m wzdłuż gł. osi promieniowania - GKP	-	-
36	<0,7*	-	<0,002	-	0,3-2,0	N:53°01'53.90" E:15°18'38.58"	otoczenie stacji bazowej - 500m wzdłuż gł. osi promieniowania - GKP	-	-
37	<0,7*	-	<0,002	-	0,3-2,0	N:53°01'50.89" E:15°18'35.71"	otoczenie stacji bazowej - 600m wzdłuż gł. osi promieniowania - GKP	-	-
38	<0,7*	-	<0,002	-	0,3-2,0	N:53°01'49.02" E:15°18'33.38"	otoczenie stacji bazowej - 695m wzdłuż gł. osi promieniowania - GKP	-	-
39	<0,7*	-	<0,002	-	0,3-2,0	N:53°02'05.91" E:15°18'47.29"	otoczenie stacji bazowej - 100m wzdłuż gł. osi promieniowania - GKP	-	-
40	<0,7*	-	<0,002	-	0,3-2,0	N:53°02'03.29" E:15°18'42.89"	otoczenie stacji bazowej - 200m wzdłuż gł. osi promieniowania - GKP	-	-
41	<0,7*	-	<0,002	-	0,3-2,0	N:53°02'00.76" E:15°18'38.84"	otoczenie stacji bazowej - 300m wzdłuż gł. osi promieniowania - GKP	-	-
42	<0,7*	-	<0,002	-	0,3-2,0	N:53°01'59.33" E:15°18'35.63"	otoczenie stacji bazowej - 400m wzdłuż gł. osi promieniowania - GKP	-	-
43	<0,7*	-	<0,002	-	0,3-2,0	N:53°01'56.94" E:15°18'31.71"	otoczenie stacji bazowej - 500m wzdłuż gł. osi promieniowania - GKP	-	-
44	<0,7*	-	<0,002	-	0,3-2,0	N:53°01'54.85" E:15°18'27.91"	otoczenie stacji bazowej - 600m wzdłuż gł. osi promieniowania - GKP	-	-
45	<0,7*	-	<0,002	-	0,3-2,0	N:53°01'53.00" E:15°18'24.87"	otoczenie stacji bazowej - 695m wzdłuż gł. osi promieniowania - GKP	-	-
46	<0,7*	-	<0,002	-	0,3-2,0	N:53°02'08.85" E:15°18'45.25"	otoczenie stacji bazowej - 100m wzdłuż gł. osi promieniowania - GKP	-	-
47	<0,7*	-	<0,002	-	0,3-2,0	N:53°02'09.23" E:15°18'41.43"	otoczenie stacji bazowej - 200m wzdłuż gł. osi promieniowania - GKP	-	-
48	<0,7*	-	<0,002	-	0,3-2,0	N:53°02'10.30" E:15°18'36.96"	otoczenie stacji bazowej - 300m wzdłuż gł. osi promieniowania - GKP	-	-
49	<0,7*	-	<0,002	-	0,3-2,0	N:53°02'11.19" E:15°18'30.99"	otoczenie stacji bazowej - 400m wzdłuż gł. osi promieniowania - GKP	-	-
50	<0,7*	-	<0,002	-	0,3-2,0	N:53°02'12.31" E:15°18'25.70"	otoczenie stacji bazowej - 500m wzdłuż gł. osi promieniowania - GKP	-	-
51	<0,7*	-	<0,002	-	0,3-2,0	N:53°02'13.48" E:15°18'19.27"	otoczenie stacji bazowej - 600m wzdłuż gł. osi promieniowania - GKP	-	-
52	<0,7*	-	<0,002	-	0,3-2,0	N:53°02'14.15" E:15°18'16.16"	otoczenie stacji bazowej - 695m wzdłuż gł. osi promieniowania - GKP	-	-
53	<0,7*	-	<0,002	-	0,3-2,0	N:53°02'11.24" E:15°18'42.36"	otoczenie stacji bazowej - 200m wzdłuż gł. osi promieniowania - GKP	-	-
54	<0,7*	-	<0,002	-	0,3-2,0	N:53°02'12.90" E:15°18'37.81"	otoczenie stacji bazowej - 300m wzdłuż gł. osi promieniowania - GKP	-	-
55	<0,7*	-	<0,002	-	0,3-2,0	N:53°02'14.12" E:15°18'33.08"	otoczenie stacji bazowej - 400m wzdłuż gł. osi promieniowania - GKP	-	-
56	<0,7*	-	<0,002	-	0,3-2,0	N:53°02'16.76" E:15°18'24.11"	otoczenie stacji bazowej - 600m wzdłuż gł. osi promieniowania - GKP	-	-
57	<0,7*	-	<0,002	-	0,3-2,0	N:53°02'18.55" E:15°18'19.84"	otoczenie stacji bazowej - 695m wzdłuż gł. osi promieniowania - GKP	-	-
58	<0,7*	-	<0,002	-	0,3-2,0	N:53°02'11.19" E:15°18'48.97"	otoczenie stacji bazowej - 100m wzdłuż gł. osi promieniowania - GKP	-	-
59	<0,7*	-	<0,002	-	0,3-2,0	N:53°02'14.33" E:15°18'47.99"	otoczenie stacji bazowej - 200m wzdłuż gł. osi promieniowania - GKP	-	-
60	<0,7*	-	<0,002	-	0,3-2,0	N:53°02'17.24" E:15°18'46.61"	otoczenie stacji bazowej - 300m wzdłuż gł. osi promieniowania - GKP	-	-
61	<0,7*	-	<0,002	-	0,3-2,0	N:53°02'20.20" E:15°18'44.92"	otoczenie stacji bazowej - 400m wzdłuż gł. osi promieniowania - GKP	-	-

„Bez pisemnej zgody Laboratorium niniejsze sprawozdanie nie może być powielane inaczej, jak tylko w całości. Ponadto wyniki dotyczą tylko badanych obiektów przywołanych w niniejszym sprawozdaniu z badań”

62	<0,7*	-	<0,002	-	0,3-2,0	N:53°02'24.25" E:15°18'43.09"	otoczenie stacji bazowej - 500m wzdłuż gł. osi promieniowania - GKP	-	-
63	<0,7*	-	<0,002	-	0,3-2,0	N:53°02'26.96" E:15°18'42.08"	otoczenie stacji bazowej - 600m wzdłuż gł. osi promieniowania - GKP	-	-
64	<0,7*	-	<0,002	-	0,3-2,0	N:53°02'29.28" E:15°18'40.89"	otoczenie stacji bazowej - 695m wzdłuż gł. osi promieniowania - GKP	-	-
65	<0,7*	-	<0,002	-	0,3-2,0	N:53°02'20.30" E:15°18'47.13"	otoczenie stacji bazowej - 400m wzdłuż gł. osi promieniowania - GKP	-	-
66	<0,7*	-	<0,002	-	0,3-2,0	N:53°02'24.33" E:15°18'45.72"	otoczenie stacji bazowej - 500m wzdłuż gł. osi promieniowania - GKP	-	-
67	<0,7*	-	<0,002	-	0,3-2,0	N:53°02'27.34" E:15°18'44.68"	otoczenie stacji bazowej - 600m wzdłuż gł. osi promieniowania - GKP	-	-
68	<0,7*	-	<0,002	-	0,3-2,0	N:53°02'29.46" E:15°18'43.86"	otoczenie stacji bazowej - 695m wzdłuż gł. osi promieniowania - GKP	-	-
69	<0,7*	-	<0,002	-	0,3-2,0	N:53°02'10.04" E:15°18'56.11"	otoczenie stacji bazowej - 100m wzdłuż gł. osi promieniowania - GKP	-	-
70	<0,7*	-	<0,002	-	0,3-2,0	N:53°02'08.23" E:15°18'57.19"	otoczenie stacji bazowej - 100m wzdłuż gł. osi promieniowania - GKP	-	-
71	<0,7*	-	<0,002	-	0,3-2,0	N:53°02'06.84" E:15°18'48.28"	otoczenie stacji bazowej - 50m wzdłuż gł. osi promieniowania - GKP	-	-
72	<0,7*	-	<0,002	-	0,3-2,0	N:53°02'10.14" E:15°18'49.63"	otoczenie stacji bazowej - 50m wzdłuż gł. osi promieniowania - GKP	-	-
73	<0,7*	-	<0,002	-	0,3-2,0	N:53°02'11.37" E:15°18'53.51"	otoczenie stacji bazowej -PKP	-	-
74	<0,7*	-	<0,002	-	0,3-2,0	N:53°02'04.31" E:15°18'56.46"	otoczenie stacji bazowej -PKP	-	-
75	<0,7*	-	<0,002	-	0,3-2,0	N:53°02'07.04" E:15°18'42.43"	otoczenie stacji bazowej -PKP	-	-
A	<0,7*	-	<0,002	-	0,3-2,0	Pełczyk 10, pomiar przed budynkiem -DPP		-	-
B	<0,7*	-	<0,002	-	0,3-2,0	Pełczyk 10a, pomiar przed budynkiem -DPP		-	-
C	<0,7*	-	<0,002	-	0,3-2,0	Aleja Wolności 6, pomiar przed budynkiem -DPP		-	-
D	<0,7*	-	<0,002	-	0,3-2,0	Kościuszki 25, pomiar przed budynkiem -DPP		-	-
E		-				Brak dostępu – pomieszczenia gospodarcze		-	-

* poniżej czułości zestawu pomiarowego

GKP - główne kierunki pomiarowe

PKP - pomocnicze kierunki pomiarowe

DPP- dodatkowe punkty pomiarowe

PP – pion pomiarowy

U - niepewność pomiarowa rozszerzona, przy poziomie ufności 95%, z uwzględnieniem współczynnika rozszerzenia k=2

kE – poprawka pomiarowa badanej instalacji radiokomunikacyjnej podana przez operatora (kE=1,47), poprawka pomiarowa w przypadku oddziaływania innych instalacji radiokomunikacyjnych na badany obszar (kE=2,0)

WM_E - wartość wskaźnikowa poziomu emisji pól elektromagnetycznych dla miejsc dostępnych dla ludności dla składowej elektrycznej pola

WM_H - wartość wskaźnikowa poziomu emisji pól elektromagnetycznych dla miejsc dostępnych dla ludności dla składowej magnetycznej pola

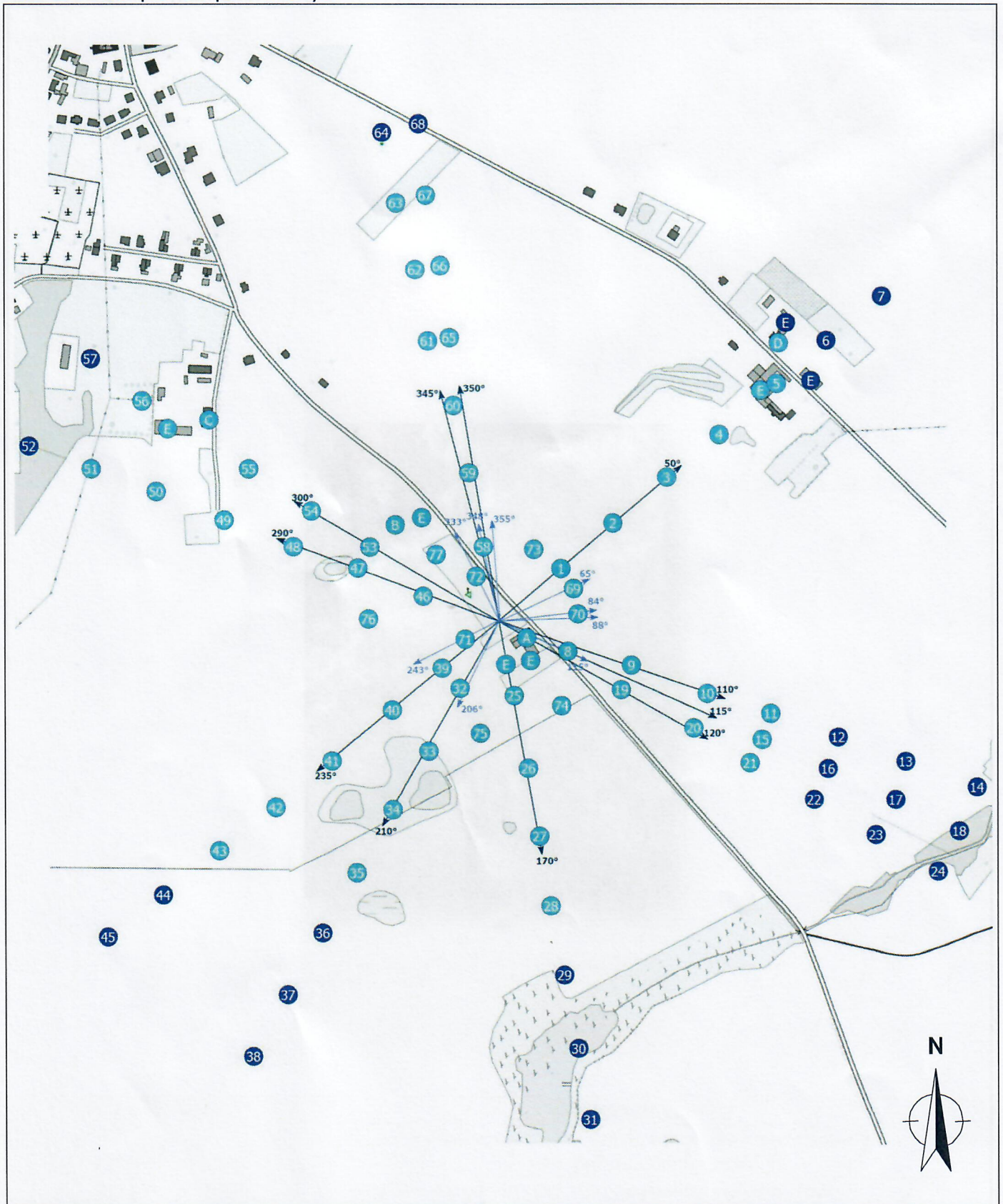
Przyjęto najniższą dopuszczalną wartość składowej elektrycznej pola dla objętego pomiarami zakresu częstotliwości min(ME_{gr})= 38,89 V/m oraz składowej magnetycznej min(MH_{gr})= 0,105 A/m.

7. Stwierdzenie zgodności


Na podstawie wytycznych podanych w Rozporządzeniu Ministra Zdrowia z dnia 17 grudnia 2019 r. w sprawie dopuszczalnych poziomów pól elektromagnetycznych w środowisku (Dz.U. 2019 poz. 2448) oraz sposobów sprawdzania dotrzymania tych poziomów zgodnie z Rozporządzeniem Ministra Klimatu z dnia 17 lutego 2020 r. w sprawie sposobów sprawdzania dotrzymania dopuszczalnych poziomów pól elektromagnetycznych w środowisku (Dz.U. 2020 poz. 258) dotyczących źródła wymagań, które muszą być spełnione (załącznik do rozporządzenia Ministra Klimatu z dnia 17 lutego 2020 r. (poz. 258)), w oparciu o zasadę podejmowania decyzji zgodną z pkt 26 załącznika do rozporządzenia Ministra Klimatu z dnia 17 lutego 2020 r. (poz. 258), na podstawie wyników pomiarów pól elektromagnetycznych wykonanych w dniu 02.06.2020 stwierdzono, iż w miejscach dostępnych dla

„Bez pisemnej zgody Laboratorium niniejsze sprawozdanie nie może być powielane inaczej, jak tylko w całości. Ponadto wyniki dotyczą tylko badanych obiektów przywołanych w niniejszym sprawozdaniu z badań”

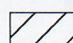
Zał. 2. Widok pionów pomiarowych





LEGENDA:



 inna instalacja radiokomunikacyjna

Odległość, do której zostały wykonane pomiary mierząc od instalacji antenowej wynosi min. 694 metrów.

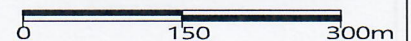
 brak dostępu

 pion pomiarowy z poprawką pomiarową (brak innych instalacji radiokomunikacyjnych)

 pion pomiarowy z poprawką pomiarową (w zasięgu innych instalacji radiokomunikacyjnych)

 antena sektorowa
 antena radioliniowa

Skala: 1:2000



Załącznik 3. Załączniki graficzne.



	BT43680 PELCZYCE	
	Pelczyce, dz. nr 346, gm. Pelczyce, pow. choszczeński, woj. zachodnio-pomorski	
Opis obiektu	Martyna Karczmarczyk	Specjalista ds. pomiarów
Data wykonania	Andrzej Urbański	Kierownik Laboratorium
	Protokół jest prawidłowy	
	Data wydania protokołu: 2020-06-02	
	2020-06-02	